

$\chi_a < 0$ ,  $n_a > 0$ . Знак диамагн. анизотропии определяется анизотропией магн. свойств углеводородных ядер мицелл: разностью восприимчивостей «жирных хвостов» вдоль и поперёк оси амфи菲尔ной молекулы и степенью упорядочения этих молекул относительно оси мицеллы. В частности, для веществ, молекулы к-рых содержат в составе «жирного хвоста» одно или неск. ароматич. колец, знак анизотропии магн. восприимчивости может быть противоположным указанному выше. Знак диэлектрич. проницаемости нематиков определяется величиной деполяризующего действия мицелл, находящихся в водной среде. По абс. величине значения анизотропии показателя преломления и диамагн. анизотропии, как правило, на 1–2 порядка меньше, чем в случае термотропных нематиков, и составляют  $|n_a| \approx 10^{-3}$ ,  $|\chi_a| \approx 10^{-8}$ .

При изменении направления внешн. магн. поля нематич. структуры переориентируются. Время соответствующего переходного процесса в магн. поле напряжённостью  $H \sim 10^4$  Э варьируется в пределах  $1-10^4$  с в зависимости от содержания воды в образце. Модули упругости лиотропных нематич. кристаллов на 1–2 порядка меньше, чем в случае термотропных жидкых кристаллов:  $K = 10^{-7}-10^{-6}$  дн./см<sup>2</sup>. Их величина определяется энергией взаимодействия между мицеллами в Р., к-рая складывается из энергии ван-дер-ваальсовых межатомных взаимодействий и электростатич. энергии взаимодействия ионов, находящихся в Р. и на поверхности мицелл. В нематич. фазах расстояние между мицеллами (цилиндрами и дисками) составляет обычно неск. сотен Å, и искажение структуры растворителя, вызванное присутствием мицелл, по-видимому, слабо сказывается на взаимодействии агрегатов. В нематич. структурах с длиной цилиндрич. мицелл  $\sim 10^3$  Å и более существенное значение имеет изгиб мицелл, энергия к-рого сравнима с энергией взаимодействия между мицеллами.

**Дефекты и текстуры лиотропных жидких кристаллов.** Ближний порядок, существующий в упаковке молекул в мицеллы, а также во взаимном расположении мицелл в Р., определяет особенности *текстуры* макроскопич. образца. Так, для нематич. лиотропных фаз осн. дефектами упаковки мицелл, к-рые определяют характерную картину изображения образца, получаемую с помощью оптич. поляриз. микроскопа, являются *дисклекции*. Структура дисклекций в лиотропных нематич. кристаллах такая же, как в термотропных.

В ламеллярных фазах наим. энергию имеют деформации структур, при к-рых величина водного промежутка постоянна и равна своему равновесному значению во всём объёме образца, за исключением особых линий. Этому условию удовлетворяют краевые дислокации и различные конфокальные домены, простейшими из к-рых являются мицелиновые фигуры (многослойные структуры, представляющие собой слои, свёрнутые по спирали; рис. 16). Краевые

дислокации, к-рых в лиотропных смектич. жидких кристаллах может быть, по крайней мере, два типа (рис. 17), приводят к образованию т. н. террас Гранжа-на, видимых в оптический и электронный микроскопы, а также к образованию разл. пучков и сеток.

Структура дефектов в ламеллярных фазах существенно зависит от содержания воды в образце и от темп-ры. Одноврем. с изменением текстуры происходит изменение электропроводности Р. и коэф. диффузии ионов. При охлаждении системы в момент образования геля вследствие наклона амфи菲尔ных молекул в биослоях

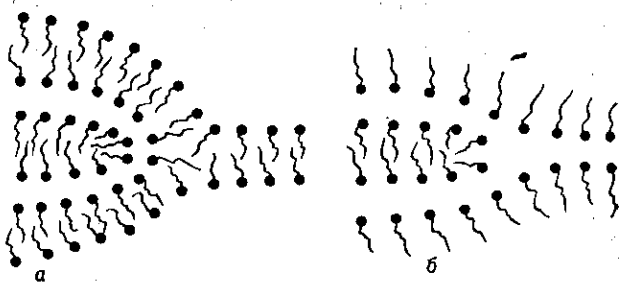


Рис. 17. Два типа краевых дислокаций в лиотропных смектических структурах.

может возникать волнообразная деформация ламелл (наблюдаемая в электронный микроскоп и проявляющаяся в особенностях рассеяния рентг. лучей).

#### Микроэмulsionи

Добавление в систему несмешиваемых в обычных условиях жидкостей (напр., систему масло — вода) амфи菲尔ного вещества [а в нек-рых случаях — спирта и (или) неорганич. соли] качественно изменяет свойства системы. Растворимость масла в воде резко возрастает при концентрации амфи菲尔ного вещества, превышающей ККМ. Молекулы гидрофобного вещества располагаются в углеводородных ядрах мицелл, размеры к-рых при этом увеличиваются — мицеллы набухают. Такое увеличение растворимости гидрофобных веществ в полярных растворителях (или полярных веществ в жирном растворителе) с образованием агрегатов наз. с о л ю б и л и з а ц и е й. Радиус набухших мицелл в нек-рых случаях может достигать неск. сотен Å; мицеллярные Р. при этом наз. м и к р о э м у л ь с и я м и типа «масло в воде» (o/w). Способность мицелл набухать в масле обычно ограничена, и при достижении нек-рой критич. концентрации масло отслаивается в виде отд. фазы. На рис. 18 изображён участок фазо-

Рис. 18. Схематическое изображение фазовой диаграммы масла, солюбилизированного в воде: 1 — трёхфазная область (вода + масло + амфи菲尔); 2 — однородная прозрачная фаза (масло, солюбилизированное в воде); 3 — двухфазная система (солюбилизированное в воде масло + масло). AB — кривая помутнения раствора; BC — кривая солюбилизации;  $T_{\text{inf}}$  — температура инверсии фаз.



вой диаграммы солюбилизированного масла; равновесию фазы масла и солюбилизированного в воде масла отвечает кривая солюбилизации BC.

Радиус набухших мицелл определяется площадями, приходящимися на полярную «головку» на поверхностях раздела вода — амфи菲尔 ( $S_{w/s}$ ) и масло — амфи菲尔 ( $S_{o/s}$ ). Для ненапомных амфи菲尔ных молекул, размеры полярной и гидрофобной частей к-рых примерно равны, предельное значение радиуса кривизны  $R$  поверхности масло — вода определяется соотношением

$$R \approx (\sqrt{S_{o/s}} + \sqrt{S_{w/s}})L / (\sqrt{S_{w/s}} - \sqrt{S_{o/s}}),$$

где  $L$  — полная длина амфи菲尔ной молекулы. Величина, стоящая в знаменателе этого выражения, зависит от темп-ры и состава Р., и при нек-рых значениях этих параметров (при темп-ре инверсии фаз) кривизна поверхности мицеллы может менять знак, т. е. происходит обращение микроэмulsionи: o/w  $\rightarrow$  w/o («масло в воде»). Вблизи темп-ры инверсии фаз мутность Р. резко возрастает и может наблюдаваться, напр., опалесценция критическая. В узком интервале темп-р вблизи темп-ры инверсии фаз (заштрихованная область на рис. 18) в Р. обнаруживаются агрегаты разл. формы и состава: цилиндры, одно- и многослойные липосомы,

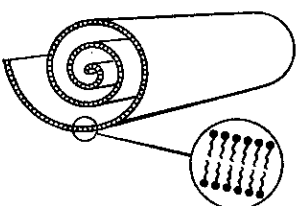


Рис. 16. Схема строения мицелиновых фигур.